

01:04  
©1994

# ОСОБЕННОСТИ НАГРЕВА ПЛАЗМЫ ПРИ ЭЛЕКТРИЧЕСКОМ ВЗРЫВЕ ПРОВОДНИКОВ В СВЕРХСИЛЬНОМ МАГНИТНОМ ПОЛЕ

*C.H. Колгатин, Г.А. Шнеерсон*

Известно, что сильное аксиальное магнитное поле может стабилизировать электрический взрыв проволочек, которые в отсутствии поля подвержены МГД неустойчивостям [1,2]. В данной работе на основе математического моделирования изучается другой эффект, вызванный действием сильного поля — интенсивный дополнительный нагрев расширяющейся плазмы индуцированным в ней азимутальным током. Далее показано, что этот эффект возможен лишь в поле с индукцией, близкой к 100 Тл и носит пороговый характер. Это является следствием специфической зависимости проводимости металлов от плотности и температуры.

В рамках модели одномерного, радиально-симметричного течения, без учета теплопроводности, процесс электрического взрыва проводника во внешнем аксиальном поле описывается системой уравнений магнитной газовой динамики, которая в координатах Лагранжа  $s = \int_0^r \rho(\xi) \xi d\xi$  ( $r$  — эйлеров радиус,  $\xi$  — переменная интегрирования) записывается в виде

$$\frac{\partial(\frac{1}{\rho})}{\partial t} = \frac{\partial(rv)}{\partial s}, \quad \frac{\partial r}{\partial t} = v,$$

$$\frac{\partial v}{\partial t} = -r \frac{\partial p}{\partial s} - \mu_0 \left( r \frac{\partial}{\partial s} \left( H_z^2 / 2 \right) + \frac{1}{r} \frac{\partial}{\partial s} \left( (rH_\varphi)^2 / 2 \right) \right),$$

$$\frac{\partial}{\partial t} \left( \frac{H_\varphi}{\rho} \right) = \frac{H_\varphi v}{\rho r} + \frac{r}{\mu_0} \frac{\partial E_z}{\partial s}, \quad \frac{\partial}{\partial t} \left( \frac{H_z}{\rho} \right) = -\frac{1}{\mu_0} \frac{\partial}{\partial s} (rE_\varphi),$$

$$j_\varphi = -\rho r \frac{\partial H_z}{\partial s} = \sigma E_\varphi, \quad j_z = \rho \frac{\partial(rH_\varphi)}{\partial s} = \sigma E_z,$$

$$\frac{\partial \varepsilon}{\partial t} = -p \frac{\partial(rv)}{\partial s} + (j_\varphi E_\varphi + j_z E_z) / \rho,$$

где индексами  $z$  и  $\varphi$  помечены аксиальные и азимутальные компоненты соответствующих векторов,  $t$  — время,  $v$  — радиальная компонента скорости,  $\mu$  — магнитная постоянная;

$H$ ,  $E$  — напряженности магнитного и электрического полей,  $j$  — плотность тока. Для замыкания системы необходимо привлечь уравнения состояния  $p = f_p(\rho, T)$  и  $\varepsilon = f_e(\rho, T)$ , которые брались из [3], и зависимость электропроводности от плотности и температуры  $\sigma = f_6(\rho, T)$ ; в работе использовалась модель проводимости А.Я.Полищукова [4]. Границными условиями к системе служили следующие соотношения. На оси симметрии  $r = 0$ :  $v(t, 0) = 0$ ,  $H_\varphi(t, 0) = 0$ ,  $\frac{\partial H_z}{\partial t}(t, 0) = 0$ . На границе проволочки  $s = s_b$ :  $p(t, s_b) = 0$ ,  $H_z(t, s_b) = H_0$ ,  $H_\varphi(t, s_b) = I(t)/(2\pi a(t))$ , где  $H_0$  — напряженность внешнего

аксиального магнитного поля,  $I(t) = \int_0^{a(t)} j_z 2\pi r dr$  — полный аксиальный ток,  $a(t) \equiv r(t, s_b)$ . Величина полного тока определялась из электротехнического уравнения внешней цепи с емкостью 1 мкФ, индуктивностью 100 нГ, напряжением на конденсаторе 150 КВ. В расчетах принималось: длина проводника 15 мм, начальный радиус 140 мкм. Исходная система уравнений решалась методами А.А.Самарского [5] на ЭВМ. Для достижения счетной устойчивости в состав давления вводилась линейная псевдовязкость, позволявшая стабилизировать алгоритм.

На рис. 1 показана зависимость от времени сопротивления проволочки  $R$ . Зависимости построены для стадии взрыва, когда наблюдается наиболее резкое изменение  $R$ . Более поздние стадии процесса в работе не исследовались, что отчасти было вызвано первоначальной задачей — изучить влияние поля на коммутационные характеристики электрического взрыва. Характерен резкий рост сопротивления от начального значения  $4 \cdot 10^{-3}$  до 1.5–3 Ом, а затем резкий спад. При выбранных параметрах цепи взрыв проволочки происходит на фронте импульса тока. Как видно из рис. 1, в магнитном поле с напряженностью  $10^8$  А/м скачок сопротивления происходит раньше, чем в относительно слабом поле. Расчеты показывают, что влияние внешнего поля на характер течения плазмы и ее параметры при выбранных условиях численного эксперимента незначительно, если  $H_0 \lesssim 5 \cdot 10^7$  А/м. В поле с  $H_0 = 10^8$  А/м азимутальная напряженность на границе проволочки  $H_\varphi$  примерно вдвое ниже, чем значение  $H_z$ . Это позволяет не считаться с вероятностью развития неустойчивости и использовать описанную выше одномерную модель.

Влияние аксиального поля на поведение плазмы проявляется через плотность азимутального тока, индуцированного при расширении проводящей среды. Уже в начальной стадии взрыва ( $t \sim 0.5$  мкс) скорость расширения проводника достигает величины порядка 1 Км/с, что при на-

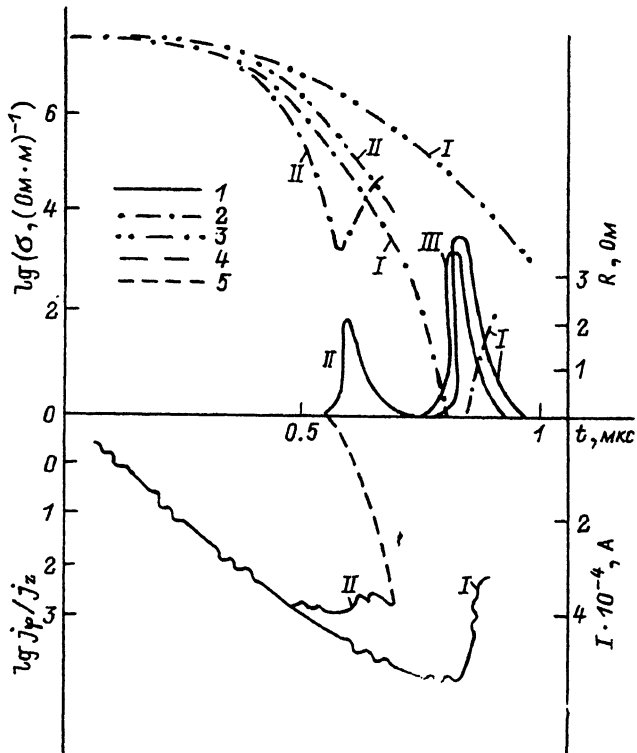


Рис. 1. Зависимости магнитогазодинамических параметров взрывающейся проволочки от времени.

Кривые I —  $H_0 = 0$ , II —  $H_0 = 10^8 \text{ A/m}$ , III —  $H_0 = 10^7 \text{ A/m}$ . 1 —  $R$  — электрическое сопротивление, 2 —  $\sigma$  — электропроводность в центре ( $s = 0$ ), 3 —  $\sigma$  у края проводника ( $s = 5 \cdot 10^{-5} \text{ кг/м}$ ), 4 —  $I$  — ток, 5 —  $\frac{j_\phi}{j_z}$  — отношение плотностей азимутального и аксиального токов.

пряженности внешнего поля  $10^8 \text{ A/m}$  приводит к индуцированию электрического поля с напряженностью  $E_\varphi \approx 10^4 - 10^5 \text{ В/м}$ , сопоставимой с  $E_z \sim 10^5 \text{ В/м}$ , достигаемой к этому же моменту времени. В дальнейшем отношение  $\frac{E_\varphi}{E_z}$  (соответственно, и  $\frac{j_\varphi}{j_z}$ ) резко возрастает, особенно на периферии (рис. 1). Рост азимутального тока приводит к существенно более быстрому нагреву приграничных слоев проводника

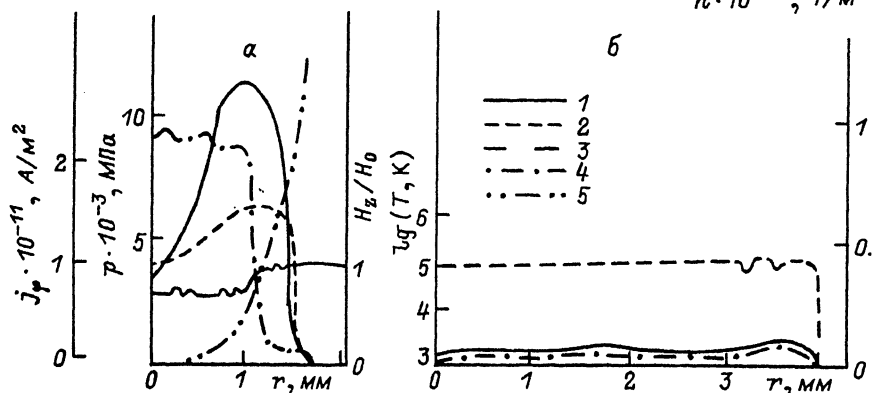


Рис. 2. Профили магнитогазодинамических параметров плазмы.

*a* —  $H_0 = 10^8 \text{ A/m}$  ( $t = 0.66 \text{ мкс}$ ), *б* —  $H_0 = 0$  ( $t = 1.0 \text{ мкс}$ ). 1 —  $p$ , 2 —  $T$ ,  
3 —  $\frac{H_z}{H_0}$ , 4 —  $n$  (концентрация), 5 —  $j_\varphi$ .

в сильном магнитном поле по сравнению с традиционным случаем.

Известно, что проводимость металлов  $\sigma$  при фазовом переходе вначале резко падает вследствие снижения плотности. Вместе с тем имеет место "U" — образная зависимость электропроводности металлов от температуры при фиксированной плотности с выходом на асимптоту, описываемую формулой Спитцера ( $\sigma = \text{const} \cdot T^{3/2}$ ). В присутствии аксиального поля нагрев внешних слоев током  $j_\varphi$  происходит настолько быстро, что плотность среды не успевает существенно уменьшиться. Поэтому проводимость падает лишь до значения  $\sim 10^2 \frac{1}{\Omega \cdot \text{м}}$  (рис. 1), после чего начинается ее рост. При отсутствии поля процесс нагрева идет медленнее и сопровождается большим спадом плотности и проводимости внешних слоев, чем при взрыве в сильном поле. Вместе с тем, для области вблизи оси, где плотность для обоих случаев мало отличается, имеет место лишь небольшая разница в зависимости проводимости от времени (рис. 1). В целом, в силу описанных причин подъем и спад полного сопротивления при взрыве в сильном аксиальном поле происходит раньше, чем при  $H_z = 0$ .

Индукция значительного азимутального тока при  $H_z = 10^8 \text{ A/m}$  приводит к значительному росту температуры (до  $10^6 \text{ K}$ ) и давления на периферии плазменной области (рис. 2, *a*). Вследствие этого имеет место тенденция к расслоению плазмы на более плотное "ядро" и область пониженной плотности у внешней границы, что иллюстрирует

рис. 2. Для сравнения отметим, что при  $H_0 = 0$  в момент спада сопротивления распределения плотности, температуры и давления практически однородны, а температура не превышает  $10^5$  К (рис. 2, б).

Следует отметить, что на более поздних стадиях взрыва в расчетной модели следует учитывать влияние лучистого теплообмена. Однако для рассмотренных выше моментов времени излучением можно пренебрегать, так как из-за высокой плотности вещества средняя длина свободного пробега квантов в плазме  $\sim 10^{-2}$  см мала по отношению к радиусу проволочки. В этих условиях излучаемая наружу энергия не превышает  $\sim 3\%$  от вложенного в проволочку тепла.

Существенное влияние азимутальных токов на поведение плазмы при взрыве делает этот процесс сходным с тэта-пинчом. Он является альтернативой известным методам нагрева плотной "металлической" плазмы в конфигурации  $z$ -пинча. Заметим, что уже в рассмотренной стадии процесса имеет место вытеснение поля  $H_z$  из плазмы (рис. 2, а), а в зоне малой плотности магнитное давление становится больше газодинамического. В этой зоне на более поздней стадии возможно торможение плазмы, подобное тому, которое имеет место при электрическом взрыве скин-слоя в сверхсильном магнитном поле [6].

Работа выполнена при поддержке Российского фонда фундаментальных исследований (проект 93.02-17419).

### Список литературы

- [1] Адамьян Ю.Э., Березин А.Н., Шнеерсон Г.А. Тез. докл. 6 всесоюз. конф. по физике низкотемпературной плазмы. Л., 1983. С. 387-389.
- [2] Jäger H., Siebke H.J. // Z. Naturforsch. 1973. V. 28 a. P. 1738.
- [3] Колгатин С.Н., Хачатуровянц А.В. // ТВТ. 1980. Т. 78. В. 3. С. 447-452.
- [4] Полищук А.Я. Автореф. Докт.дисс., М., ИВТ АН, 1991.
- [5] Самарский А.А., Попов Ю.П. Разностные схемы газовой динамики. М.: Наука, 1975. 351 с.
- [6] Колгатин С.Н., Полищук А.Я., Шнеерсон Г.А. // ТВТ. 1993. № 6.

Санкт-Петербургский  
государственный технический  
университет

Поступило в Редакцию  
14 декабря 1993 г.